

## Фотонные топологические изоляторы типа Руднера на языке трехцветных клеточных автоматов

Д. П. Федченко<sup>1,2,\*</sup>, В. В. Новиков<sup>1,†</sup>, И. В. Тимофеев<sup>1,2,‡</sup>

<sup>1</sup>Сибирский федеральный университет

Россия, 660041, Красноярск, пр. Свободный, д. 79

<sup>2</sup>Институт физики им. Л. В. Киренского СО РАН,

обособленное подразделение ФИЦ КНЦ СО РАН

Россия, 660036, Красноярск, ул. Академгородок, д. 50

(Поступила в редакцию 15.10.2021; подписана в печать 20.10.2021)

Топологический изолятор — это материал, одновременно проявляющий свойства проводника на поверхности и изолятора в объеме. Игрой Руднера называют упрощенную модель топологического изолятора, экспериментально реализованную на двумерных фотонных решетках и описывающуюся как клеточный автомат, подобный игре жизнь Конвея. Трехцветным клеточным автоматом называют регулярную решетку ячеек, каждая из которых окрашена в один из трех цветов и задано правило перекрашивания ячеек. В данной работе два цвета клеточного автомата соответствуют отсутствию и наличию фотона в резонаторе, а третий цвет — границе области. Игра Руднера обобщается на случай трехмерного массива оптических резонаторов и демонстрируются определяющие свойства топологического изолятора. Вводится класс клеточных автоматов, сохраняющих границу и количество фотонов, а также нулевую групповую скорость для фотонов, удаленных от поверхности. Ожидаются физические реализации в фотонике, электронике, механике и акустике.

PACS: 42.60.Da, 42.25.Fx, 42.70.Qs

УДК: 535.015, 535.016, 535.3

Ключевые слова: топологическая фотоника, топологические изоляторы типа Руднера, трехцветные клеточные автоматы, код Вольфрама.

### ВВЕДЕНИЕ

Термин «топологическая фотоника» [1] ознаменовал новый этап развития топологических идей в электродинамике сплошных сред. Обзорные статьи определяют предмет топологической фотоники как топологические состояния электромагнитного поля в фотонных (оптических) системах [2, 3]. Яркий пример таких состояний дают фотонные топологические изоляторы, на поверхности которых образуются волны, несущие ненулевой целочисленный топологический заряд и тем самым защищенные от рассеяния на неточностях изготовления структуры [4]. Топологические состояния наблюдались в технологически важных ближнем инфракрасном и видимом диапазонах частот, с использованием решетки спиральных волноводов и решетки кольцевых резонаторов [5]. Активно исследуется широкий спектр других платформ, включая поляритонные цепи, антенные решетки резонаторов и метаповерхности. Изогранный аппарат для описания топологических состояний волны пришел из теории твердого тела [6–8]. Подобное заимствование 30 лет назад породило концепцию фотонных кристаллов [9]. С другой стороны, в сингулярной оптике локализованных волн и вращающихся пучков с ненулевым орбитальным угловым моментом продолжает активно формироваться свой язык для описания топологических явлений, каустик [10], вихревых и седловых точек [11,

12], закономерностей изменения поляризации вблизи исключительных точек [13].

Топологические изоляторы стали активно изучаться после открытия квантового эффекта Холла [14]. Такие структуры являются изоляторами, то есть не пропускают волны в свою глубину, в то же время допускают прохождение световых волн по краю или поверхности. Наличие поверхностных проводящих состояний объясняется при помощи топологических инвариантов на дисперсионной диаграмме периодической структуры. Плавное изменение параметров структуры делает ее изолятором, то есть приводит к образованию запрещенных зон, щелей в частотном спектре. В случае различия величины топологического инварианта по разные стороны запрещенной зоны, по свойству объемно-краевого соответствия запрещенная зона смыкается посредством состояний, которые не проникают вглубь структуры и локализованы вблизи ее края. В случае *бесщелевых* изоляторов состояния в объеме существуют, но не распространяются по причине нулевой групповой скорости. Это также приводит к локализации проводящих состояний вблизи края структуры.

Пожалуй, простейшей моделью бесщелевого топологического изолятора является игра Руднера. Эта двумерная модель описана в статье [15] на квантовом языке операторов рождения и уничтожения (вторичное квантование). В обзоре [16] дается новый язык описания топологических изоляторов, обсуждается связь двумерных топологических изоляторов с клеточными автоматами.

Клеточный автомат (КА) — это регулярная решетка ячеек, каждая из которых может находиться в одном из конечного числа состояний, например, 0, 1 и 2.

\* fdp@iph.krasn.ru

† work\_vladimir\_novikov@mail.ru

‡ tiv@iph.krasn.ru

На каждой итерации новое состояние определяется по состоянию соседних ячеек исходя из правила, одинакового для всех ячеек. Правило записывается в числовом формате и называется кодом Вольфрама.

КА стали популярны после изобретения игры «Жизнь» математиком Джоном Конвеем в 1970 г. В 1983 г. Стивен Вольфрам опубликовал первую работу, посвященную классу элементарных клеточных автоматов [17]. В 2002 вышла в свет книга Вольфрама [18], которая стала настоящим манифестом клеточных автоматов. Их чарующая красота заставляет все новых и новых исследователей обращаться к этой, пока еще весьма абстрактной, области математики. В работах Вольфрама описывается класс элементарных клеточных автоматов, которые эволюционируют в бесконечной решетке, заполненной нулями и единицами.

В данной работе задается клеточный автомат, описывающий поведение фотонного топологического изолятора (рис. 1). Здесь существенно наличие края решетки, поэтому вводится третье состояние, обозначающее границу. Два цвета клеточного автомата соответствуют отсутствию и наличию фотона в оптическом резонаторе, а третий цвет — границе области, то есть отсутствию в ячейке самого резонатора. В такой постановке удается задать автомат для двумерной игры Руднера, после чего он естественно обобщается на случай трехмерного массива оптических резонаторов. Далее делаются утверждения, общие для целого класса КА типа Руднера на квадратных, трех- и шести угольных решетках. Алгоритм рассмотренных КА реализуется программно. Теория сопоставляется с прямыми численными расчетами.

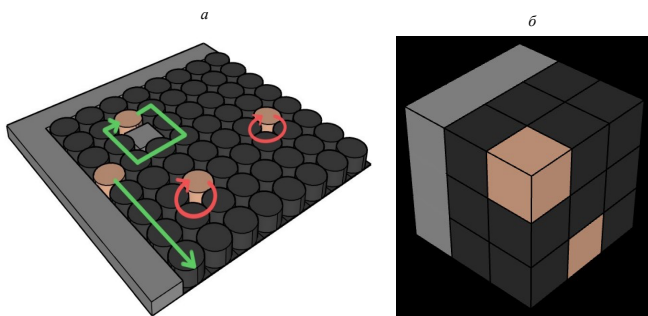


Рис. 1. Двумерный (слева) и трехмерный (справа) фотонный топологический изолятор типа Руднера. Ячейки массива соответствуют оптическим резонаторам. Светлый цвет говорит о наличии фотона в резонаторе. Серым цветом обозначено отсутствие резонаторов за границей массива. Циклическое движение обозначено красной стрелкой и соответствует изоляции в объеме. Распространение волны обозначено зеленой стрелкой и соответствует проводимости вдоль поверхности изолятора

## 1. ПОСТАНОВКА ЗАДАЧИ

Зададим клеточный автомат, описывающий поведение фотонного топологического изолятора, соответствующего двумерной игре Руднера. Рассмотрим квадратную решетку из оптических резонаторов. Состоянию 0 поставим в соответствие невозбужденный резонатор. Состояние 1 — резонатор, содержащий фотон. Состояние 2 — отсутствие резонатора. Итого — три состояния, поэтому такой КА назовем *трехцветным*.

В приближении жесткой связи фотоны могут перепрыгивать только на соседние резонаторы. Поэтому для динамики КА важно состояние множества из *пяти* ячеек: самой ячейки и четырех смежных с данной по ребру — окрестность Неймана нулевого и первого порядка, далее — просто *окрестность*.

Зададим правило изменения КА исходя из состояния окрестности. Окрестность может принимать 35 различных состояний. Для упорядочения множества состояний, каждому состоянию сопоставим пятизначное число, записываемое в троичной системе исчисления. Каждому состоянию окрестности сопоставим получаемое состояние клетки. Это можно сделать  $3^5$  способами. Каждый способ записывается в числовом формате и называется кодом Вольфрама.

Шахматная раскраска игры Руднера означает, что массив резонаторов разделяется на четные и нечетные. Причем четные соседствуют с нечетными и обмениваются фотонами.

Такты игры Руднера. В двумерном случае у каждого резонатора есть четыре соседа противоположной четности. Он по очереди обменивается фотонами с каждым соседом. Эти обмены назовем четырьмя тактами, которым соответствует четыре кода Вольфрама. Причем на каждом такте для четных и нечетных резонаторов применяются различные коды согласно следующей таблице:

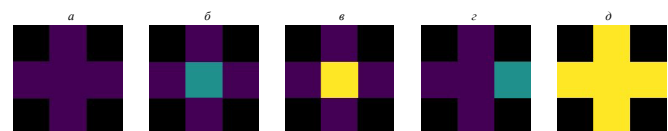


Рис. 2. Окрестность Неймана для трехцветного КА. Состояние 0 — фиолетовый цвет, 1 — голубой цвет, 2 — желтый цвет. Упорядочение 35 состояний окрестности

Правила четырехтактового КА на плоскости имеют вид:

**Правило 1** = 871896424859609582029110705858  
6077169685819630062952928588471702570724518  
4955461514567350134642761960475397463135221;

**Правило 2** = 871896424859609582029110705858  
6077169686562900693751685664642053530708374  
8847009511688466704807114187492178155124653;

Таблица I. Соответствие тактов и кодов Вольфрама для двумерного КА

Код Вольфрама	Такт 1	Такт 2	Такт 3	Такт 4
Четные резонаторы	Правило 1	Правило 2	Правило 3	Правило 4
Нечетные резонаторы	Правило 3	Правило 4	Правило 1	Правило 2

**Правило 3** = 871896424859609582029110705858  
6077169686575887924022212825477616423051103  
2271591445048493784239863824054082719415381;

**Правило 4** = 871896424859609582029110705858  
6077169686575887949397362871618148203681507  
8820525046538331816246773325439025350595533.

Рассмотрим узкий класс клеточных автоматов типа Руднера со следующими свойствами топологического изолятора:

1. Форма решетки неизменна в процессе работы КА. То есть резонаторы сохраняют свои положения, не исчезают и не возникают в новых ячейках.
2. Выполняется закон сохранения энергии, то есть количество фотонов постоянно. Если фотон в резонаторе исчезает, то он появляется в соседнем резонаторе. 2б. При этом динамика обратима во времени, как в игре Руднера. То есть у всякого КА типа Руднера есть обратный из этого же класса, возвращающий состояние данного КА к начальному. 2в. Из обратимости динамики следует невырожденность траекторий фотонов. Если бы две различные траектории вырождались в одну, то есть два различных фотона переходили в одно и то же состояние, то обратимость была бы невозможна.
3. Приповерхностные фотоны остаются вблизи поверхности и не проникают вглубь решетки. Прочие фотоны, удаленные от поверхности, имеют нулевую групповую скорость. Для этого они перемещаются по циклической траектории, длина которой равна числу тактов. В двумерной игре Руднера четыре такта, в трехмерной их может быть шесть.

Исходя из этих свойств КА Руднера обобщается на трехмерный случай.

Правила шеститактового КА в пространстве имеют вид:

**Правило 1** = 291195106143185347895545411224982  
661424005940146995337170992613912125261395618  
311226588281324207282401780111966403910840566  
237223366584774876655335164140616797978763712  
037418923464915293497734276661112173715360311  
143438905556375694661662782266434470774039712  
219796340881085554778679883387343347439192332

172414624099968718417079056811972597916193246  
830852728735046894062660688845765149550395532  
198622282250016109950807019178600567811134771  
241977026008661245614454210942533374220739907  
159744432191668937227543516566026947032709257  
268949078480368530532830370596261468760292630  
007961619484680857827156378666559492937051603  
619803467609866519425626390960593172343758138  
021723881186292811473700143554583774816953078  
989262275638971851642386318731678697062462151  
594771568338379169381199701849666205207195160  
781537094791351957411754520551129322193936279  
266440716537097371973713116577529314257447155  
661504395357170254318570864703008277958537181  
725630389427666473425605040613529342732992996  
435254605269612938079308214555706040784051751  
733727561245822491941;

**Правило 2** = 291195106143185347895545411224982  
661424005940146995337170992613912125261395618  
311226588281324207282401780111966403910840566  
237223366584774876655335164140616797978763712  
037418923464915293497734276661112173715360311  
143438905556375694661662782266434470774039712  
219796340881085554778679883387343347439192332  
172414624099968718417079056811972597916193246  
847459801529995042695591917292917984514888961  
183673713644311784329749553498796911584701291  
462670402058590098792568203348137701136224546  
515237240799328691304602118264434088258219402  
163459891568437749531086990018525879018987449  
902957628354874184556832502627628938562587146  
879902502751907543262036469417604418451942152  
427998895771315762958802626924436592810723679  
084416402828304179889229296550678092002610149  
294217940274334001172869568712761494991240749  
950878958826442331841906531314615329339074608  
053595930233690212537326790560860155813437334  
275416543705179011327614973191813370455458425  
881927098622496739816535439424203964673831731  
129642797874683380880775654828834031776641333  
755085787998362158173;

**Правило 3** = 29119510614318534789554541122498  
266142400594014699533717099261391212526139561  
831122658828132420728240178011196640391084056  
623722336658477487665533516414061679797876371  
203741892346491529349773427666111217371536031  
114343890555637569466166278226643447077403971

Таблица II. Соответствие тактов и кодов Вольфрама для трехмерного КА

Код Вольфрама	Такт 1	Такт 2	Такт 3	Такт 4	Такт 5	Такт 6
Четные резонаторы	Правило 1	Правило 2	Правило 3	Правило 1	Правило 2	Правило 3
Нечетные резонаторы	Правило 4	Правило 5	Правило 6	Правило 4	Правило 5	Правило 6

221979634088108555477867988338734334743919233  
 217241462409996871841707905681197259791619324  
 684774997831025557571410157164007679163866163  
 891696748130682597447711994518272481616192095  
 562333522292444897959843127800298422370395094  
 408569397632522359947982816990705380605696985  
 023891766545007469525461778742786548954934088  
 411628579401011862813725832947645852916994844  
 603387356811452553972848312704457269253894659  
 824018121474505531917293178751367257615203262  
 224136955000473882171051138876105969377686529  
 556789087354658538414745304731191759416542864  
 412271217790801507958058347692351788462044875  
 108513383294783641669215995063206651065300920  
 246680497137667929351526603454261711285826168  
 459872816439639663711127106931117806271128584  
 638933900147153261740635261446801883854382460  
 1086190690593391053701;

**Правило 4** = 29119510614318534789554541122498  
 266142400594014699533717099261391212526139561  
 831122658828132420728240178011196640391084056  
 623722336658477487665533516414061679797876371  
 203741892346491529349773427666111217371536031  
 114343890555637569466166278226643447077403971  
 221979634088108555477867988338734334743919233  
 217241462409996871841707905681197259791619324  
 684774997887721859905611356132424414914080910  
 686015997070035072093270004569867761852818758  
 305310418523963748930296564928876549257114802  
 200273721596617722220944291567255490586181747  
 997633519696508567216763858455422291446491924  
 118819384363387403146960615312143774174085944  
 024353445585304589444090945795952431083735115  
 218090281396787514019965914220956183144794994  
 288175774261075736126346655027611578598856208  
 464337521338685658446416933018380374500537643  
 990358058151098509608825030108711133663940414  
 614458598832213059076996329181501275417806508  
 637451481482515876004407200550840612980297952  
 908807166018493576389682019444299118365859119  
 015314753384291500190425253989041675433444577  
 6512450081261411312253;

**Правило 5** = 29119510614318534789554541122498  
 266142400594014699533717099261391212526139561  
 831122658828132420728240178011196640391084056  
 623722336658477487665533516414061679797876371  
 203741892346491529349773427666111217371536031

114343890555637569466166278226643447077403971  
 221979634088108555477867988338734334743919233  
 217241462409996871841707905681197259791619324  
 684774997887721859905611356510180640770647285  
 174389638650469598294120957089955191333281033  
 076838606759502955602797921329281373614862271  
 543638339779818992543885465458578320282335974  
 034768159378398826038999918794637102829156470  
 532377054427124260426479648230150732484919781  
 393924628241007889626558564267789069754927953  
 965377695744722795314843828647142256983733603  
 068773127590328928044637745837884224186378561  
 757761820764572465098300823396292747542663357  
 396890555677479421165303239323607961829678778  
 055095231226912992847540753487135907675095671  
 151765330332865180725932336826323497858692109  
 670934812971592314189031375017264950477426514  
 313037908810626678660698006557124610352799870  
 1770207154076653453541;

**Правило 6** = 29119510614318534789554541122498  
 266142400594014699533717099261391212526139561  
 831122658828132420728240178011196640391084056  
 623722336658477487665533516414061679797876371  
 203741892346491529349773427666111217371536031  
 114343890555637569466166278226643447077403971  
 221979634088108555477867988338734334743919233  
 217241462409996871841707905681197259791619324  
 684774997887721859905611356510180640770647285  
 174389638650469598294120957089955303049472328  
 711168789384440874810885245321543992727856500  
 392333052912177435905057222824034711626350385  
 361994999986164326007809953847617297220899152  
 605703683079720120065311154888056628988451088  
 521295086778673772789392781626985166875984384  
 271936388670837171916900774895799685082906482  
 037816502758998514366714438881609065949348309  
 798432435045535599036351761269755684936426992  
 350396815586023744793121756989356109047873993  
 388415355398485395423854158170460344147165958  
 853139844420583022958653595181656362503955587  
 432561042681205306615640391026543893768496280  
 297462288682018172176048030617831425844473067  
 1823872251986896962973.

Таким образом, в найденном частном случае шести-тактовый автомат является трехтактовым.

## Примеры динамики КА

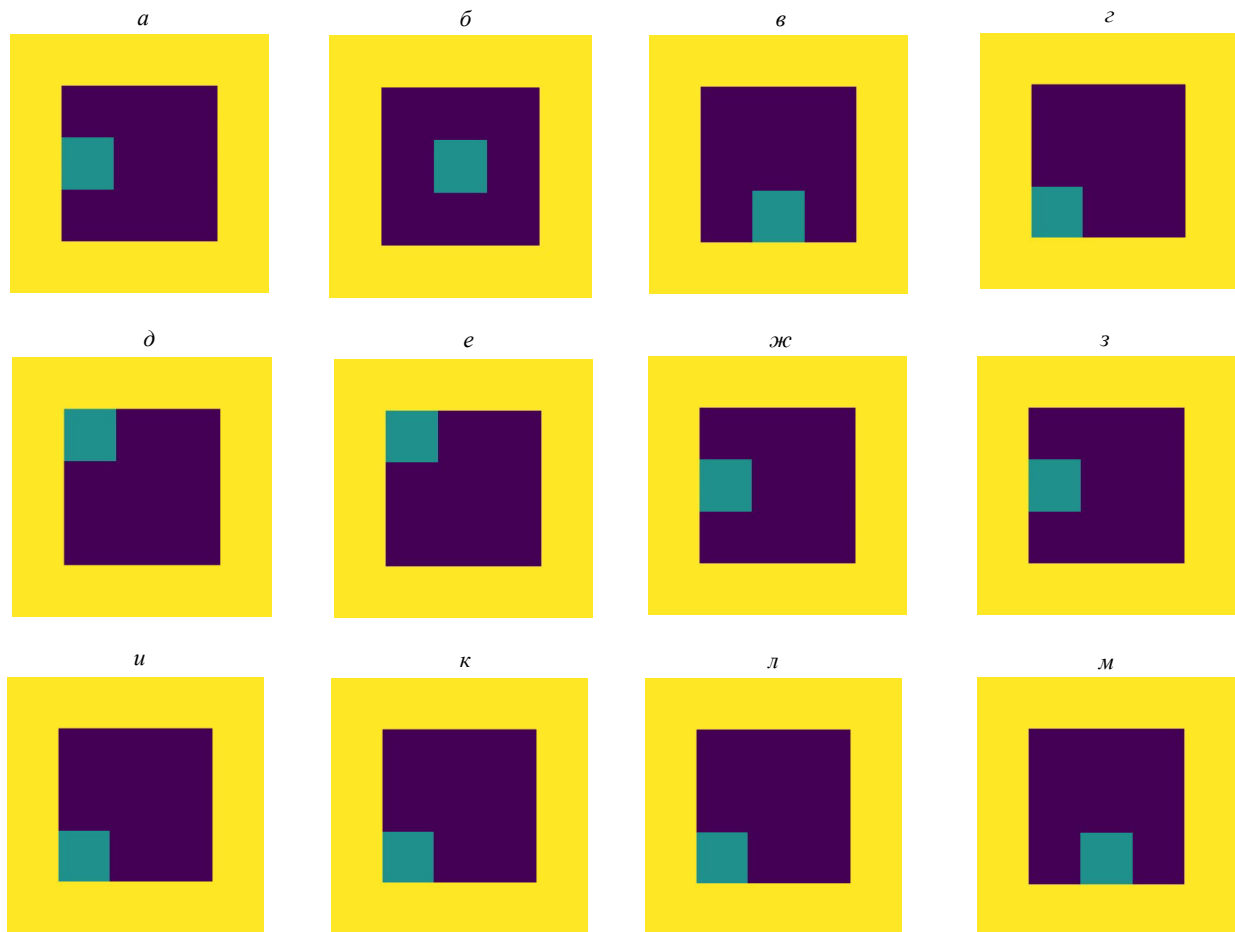


Рис. 3. *a–г* — Перемещение регулярного фотона по циклу из четырех резонаторов (вдоль движения секундной стрелки). *д–м* — Перемещение поверхностного фотона по траектории из поверхностных резонаторов (против движения секундной стрелки). Совпадение многих соседних картинок объясняется тем, что на некоторых тактах фотон стоит на месте

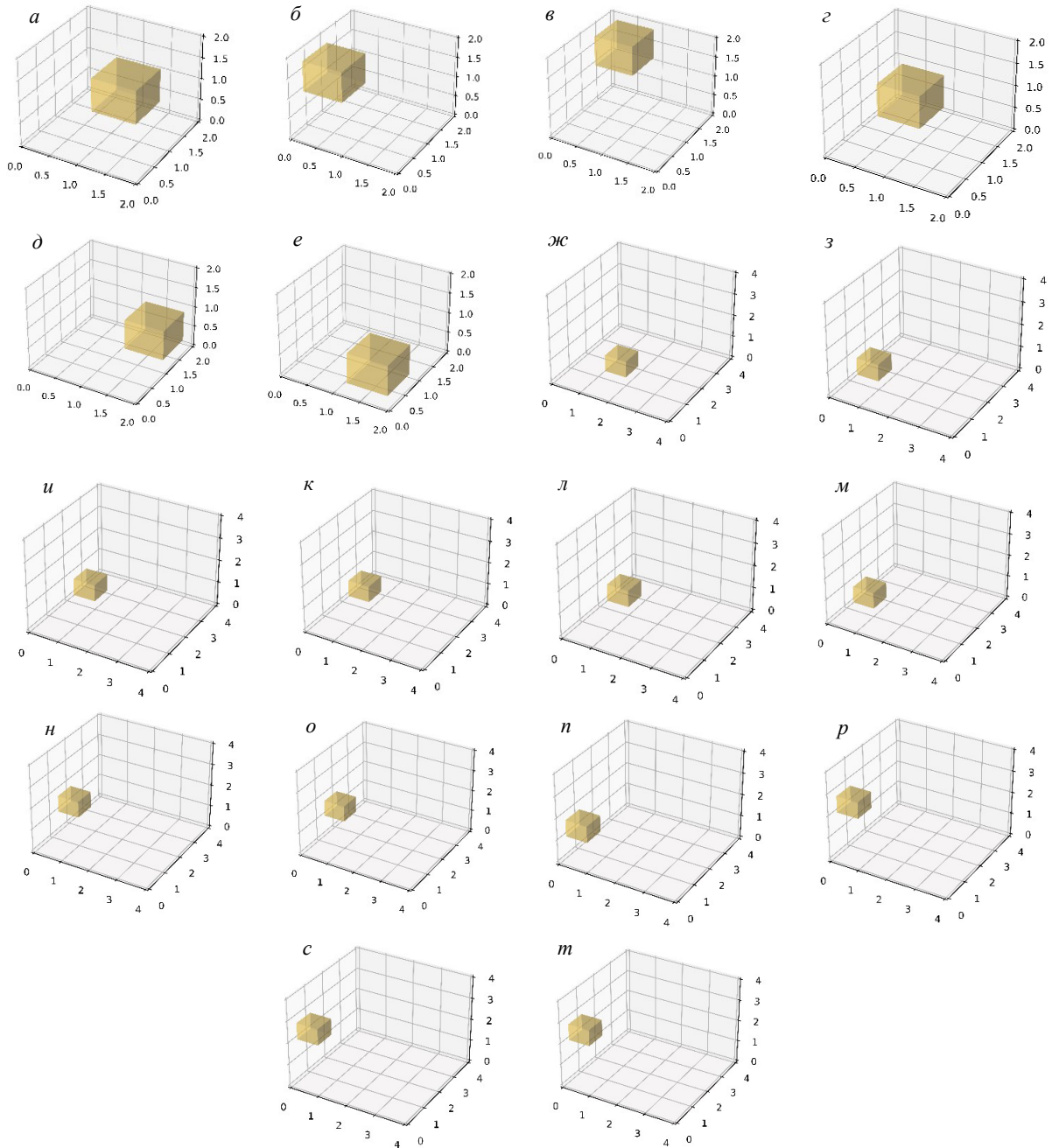


Рис. 4. а–е — Перемещение регулярного фотона по циклу из шести резонаторов. Здесь желтым цветом обозначен резонатор, содержащий фотон — состояние 1. Невозбужденные резонаторы в массиве обозначены прозрачным цветом — состояние 0. Массив резонаторов окружен клетками (декартовы координаты которых меньше 0 или больше 2), находящимися в состоянии 2. ж–т — Перемещение поверхностного фотона с начальными координатами (2, 2, 1) по траектории из поверхностных резонаторов. Как и в двумерном случае фотон может стоять на месте несколько тактов подряд. На показанных тактах видно, что фотон не проникает вглубь массива резонаторов

## ЗАКЛЮЧЕНИЕ

Рассмотрены двумерные и трехмерные упрощенные модели топологических изоляторов в двумерном и трехмерном пространстве на языке трехцветных клеточных автоматов. Решена задача определения правил для КА на плоскости и в пространстве. Прямые численные расчеты подтверждают теорию качественно и ко-

личественно. Модель может быть физически реализована в фотонике, электронике, механике, акустике и гидродинамике [19].

Статья докладывалась на конференции «Волны 2021», секция «Математическое моделирование в задачах волновой физики - 2».

Работа выполнена при поддержке гранта РФФИ № 19-52-52006.

- [1] Lu L., Joannopoulos J. D., Soljačić M. // Nat. Photonics. 2014. **8**, P. 821.
- [2] Lu L., Joannopoulos J. D., Soljačić M. // Nat. Phys. 2016. **12**, P. 626.
- [3] Ozawa T., Price H. M., Amo A., Goldman N. // Rev. Mod. Phys. Am. Phys. Soc. 2019. **91**, № 1. P. 15006.
- [4] Haldane F. D. M. Raghu S. // Phys. Rev. Lett. 2008. **100**, P. 013904.
- [5] Khanikaev A.B., Shvets G. T // Nat. Photonics. 2017. **11**, № 12. P. 763.
- [6] Hasan M. Z., Kane C. L. // Rev. Mod. Phys. 2010. **82**, P. 3045.
- [7] Volovik G. E. // Uspekhi Fiz. Nauk. 2018. **61**, P. 89.
- [8] Lifshitz I. M. // Zhurnal. Eksp. i Teor. Fiz. 1960. **11**, P. 1130.
- [9] Joannopoulos J. D., Johnson S. G., Winn J. N., Meade R. D. Photonic Crystals: Molding the Flow of Light (Second Edition). Princeton University Press, 2008.
- [10] Nye J. F. Natural Focusing and Fine Structure of Light: Caustics and Wave Dislocations // Institute of Physics Pub, 1999.
- [11] Bekshaev A., Bliokhand K. Y., Soskin M. // J. Opt. 2011. **13**.
- [12] Gao D., Gao L., Novitsky A., Chen H., Luk'yanchuk B. // Opt. Lett. 2015. **40**, P. 4162.
- [13] Bykov D. A., Doskolovich L. L. // Phys. Rev. 2018. **97**, P. 013846.
- [14] Klitzing K. V., Dorda G., Pepper M. // Phys. Rev. Lett. 1980. **45**, P. 494.
- [15] Rudner M. S., Lindner N. H., Berg, E. Levin M. // Phys. Rev. X. 2013. **3**, P. 1.
- [16] Farrelly T. // Quantum. 2020. **4**, P. 1.
- [17] Wolfram S. // Los Alamos Science. 1983. **9**, P. 42.
- [18] Wolfram S. A new kind of science // Champaign, IL: Wolfram media, 2002. **5**, P. 130.
- [19] Зуев А.С., Пыхтин Д.А., Бикбаев Р.Г., Тимофеев И.В. // Труды школы-семинара «Волны-2021». Гидродинамические волны и течения. 2021. P. 1.

## Photonic topological insulators of the Rudner type in terms of of tricolor cellular automata

D. P. Fedchenko<sup>1,2,a</sup>, V. V. Novikov<sup>1,b</sup>, I. V. Timofeev<sup>1,2,c</sup>

<sup>1</sup>Siberian Federal University, Krasnoyarsk, 660041 Russia

<sup>2</sup>Kirensky Institute of Physics Siberian Branch Russian Academy of Sciences  
Krasnoyarsk, 660036 Russia

E-mail: <sup>a</sup>fdp@iph.krasn.ru, <sup>b</sup>work\_vladimir\_novikov@mail.ru, <sup>c</sup>tiv@iph.krasn.ru

A topological insulator is a material that simultaneously exhibits the properties of a conductor on the surface and an insulator in volume. Rudner's game is a simplified model of a topological insulator, experimentally implemented on two-dimensional photonic lattices and described as a cellular automaton similar to Conway's game of life. A three-color cellular automaton is a regular lattice of cells. Each cell takes one of three colors according to the specified cell recoloring rule. In this work, two colors of the cellular automaton correspond to the absence and presence of a photon in the resonator, and the third color corresponds to the boundary of the region. The Rudner game is generalized to the case of a three-dimensional array of optical cavities and the defining properties of a topological insulator are demonstrated. A class of cellular automata is introduced that preserve the boundary and the number of photons, as well as zero group velocity for photons far from the surface. Physical realizations are expected in photonics, electronics, mechanics, and acoustics.

PACS: 42.60.Da, 42.25.Fx, 42.70.Qs.

Keywords: topological photonics, topological insulators of the Rudner type, tricolor cellular automata, Wolfram code.

Received 15 October 2021.

## Сведения об авторах

1. Федченко Дмитрий Петрович — канд. физ.-мат. наук; e-mail: fdp@iph.krasn.ru.
2. Новиков Владимир Владимирович — студент 3 курса бакалавриата; e-mail: work\_vladimir\_novikov@mail.ru.
3. Тимофеев Иван Владимирович — доктор физ.-мат. наук; e-mail: tiv@iph.krasn.ru.